

УДК 539.211

ЛОКАЛЬНАЯ ПЛОТНОСТЬ СОСТОЯНИЙ И ФОРМА ЛИНИИ ЯМР ОДНОМЕРНОГО ПРОВОДНИКА В ЭЛЕКТРИЧЕСКОМ ПОЛЕ

Б. Л. Альтшулер, В. Н. Пригодин

Изучено влияние внешнего электрического поля на распределение локальной плотности состояний. Оказалось, что это распределение в полях, близких к пороговому, делокализирующему, становится универсальным и не зависит от способа определения плотности состояний. В этих полях все моменты participation ratio, кроме первого, стремятся к нулю. Определена форма линии ядерного магнитного резонанса в произвольном электрическом поле. Подробно исследовано влияние граничных условий на статистику флуктуаций плотности состояний.

Локальная плотность состояний (ЛПС) электронов проводимости и ее статистические свойства представляют интересный объект исследования теории неупорядоченных проводников. В отличие от усредненной по реализациям случайного примесного потенциала плотности состояний флуктуации ЛПС весьма чувствительны к переходу металл—диэлектрик — к андерсоновской локализации.

В предыдущей работе авторов [1] была полностью решена задача о статистике ЛПС в одномерном случае, когда все состояния электронов локализованы. В настоящей работе мы рассмотрим флуктуации ЛПС во внешнем электрическом поле.

Вопрос о влиянии электрического поля на одномерную локализацию исследовался в ряде работ [2-6]. Наиболее существенный качественный результат этого рассмотрения состоит в существовании критического делокализирующего поля [2]. Естественно ожидать, что и распределение ЛПС, а вместе с ним и форма линии ЯМР, будет существенно меняться при приложении электрического поля, близкого к критическому или превышающего его.

В [1] было показано, что ЛПС в точке x с энергией ε , определенную как

$$\rho(\varepsilon, x) = \frac{1}{N_\varepsilon} \sum_y |\psi_\varepsilon(x)|^2 \delta(\varepsilon - \varepsilon_y) = \frac{1}{N_\varepsilon} \langle x | \varepsilon - \hat{H} | x \rangle, \quad (1)$$

для изучения статистических свойств необходимо регуляризовать, усреднив ее с некоторым весом $f(\varepsilon)$ по интервалу энергий с характерной шириной η

$$\rho_f(\varepsilon, x) = \frac{1}{N_\varepsilon} \sum_y |\psi_\varepsilon(x)|^2 f(\varepsilon - \varepsilon_y) = \int d\varepsilon' \rho(\varepsilon', x) f(\varepsilon - \varepsilon'). \quad (2)$$

В (1), (2) индекс « y » нумерует точные собственные состояния гамильтониана \hat{H} с энергией ε и волновой функцией $\psi_\varepsilon(x)$. Для удобства мы будем измерять ЛПС в единицах N_ε — средней по случайному потенциалу плотности состояний с энергией ε . В одномерном случае $N_\varepsilon = (\pi v_\varepsilon)^{-1}$, где v_ε — скорость электрона с энергией ε . Оказывается [1], что функция распре-

деления $W(\rho_f)$ ЛПС ρ_f существенно зависит не только от характерной ширины интервала усреднения, но и от самой весовой функции $f(\varepsilon)$.

Рассмотрим задачу о форме линии ядерного магнитного резонанса (ЯМР), возникающей из-за распределения локальных сдвигов Найта [1, 7-9]. Локальный сдвиг Найта частоты ЯМР в магнитном поле H пропорционален ЛПС (2)

$$\Delta\omega = Jg\mu_e H N_{\varepsilon_f} \rho_f(x) \quad (3)$$

с весовой функцией

$$f(\varepsilon) = \frac{n_F(\varepsilon - g\mu_e H) - n_F(\varepsilon + g\mu_e H)}{2g\mu_e H}, \quad n_F(\varepsilon) = \left[e^{\frac{\varepsilon - \varepsilon_F}{T}} + 1 \right]^{-1}. \quad (4)$$

В (3), (4) $g\mu_e H$ — зеемановское расщепление, ε_F — энергия Ферми, J — константа сверхтонкого расщепления. В пределе $T \ll g\mu_e H$ (4) приобретает вид

$$f(\varepsilon) = \frac{1}{2g\mu_e H} \theta(|\varepsilon - \varepsilon_F| - g\mu_e H). \quad (5)$$

ЛПС (2) с весовой функцией (5) мы, как и в [1], будем обозначать $\rho_3(x)$. Функция распределения $W(\rho_3)$, описывающая форму линии ЯМР при $T \rightarrow 0$ в отсутствие электрического поля, была определена в [1]

$$W(\rho_3) = \frac{(s_3 \rho_3)^{s_3}}{\Gamma(s_3) \rho_3} \exp(-s_3 \rho_3), \quad s_3 = \frac{8}{\pi} g\mu_e H \tau_{\varepsilon_F}, \quad (6)$$

где $\Gamma(s_3)$ — гамма-функция; τ_{ε} — время свободного пробега электрона с энергией ε ; $\varepsilon \tau_{\varepsilon} \gg 1$.

Если к образцу приложено электрическое поле E , функция распределения отличается от фермиевской (4) заменой ε на $\varepsilon + eEx$. При $T=0$

$$f(\varepsilon) = \frac{1}{2g\mu_e H} \theta(|\varepsilon + eEx - \varepsilon_F| - g\mu_e H).$$

Безразмерный параметр, характеризующий величину электрического поля, представляет собой отношение энергии, набираемой электроном в этом поле на длине свободного пробега $l_e = v_e \tau_{\varepsilon}$, к энергии электрона ε

$$\alpha = |eEl_e|/\varepsilon. \quad (7)$$

Как показано в работе [2], при $\alpha=1$ происходит делокализация электронных состояний.

Вычисления, проведенные нами в рамках диаграммной техники Березинского [10] и описанные ниже, приводят к следующему выражению для неприводимых флуктуационных моментов (кумулянтов или семиинвариантов) величины ρ_3 при $s_3 \ll 1$:

$$\langle \rho_3^n \rangle_c = s_3^{-n} a_n, \quad a_n = \frac{\Gamma(n+a)\Gamma(n-a)}{\Gamma(n+1)} \frac{\sin \pi a}{\pi a}. \quad (8)$$

В отсутствие электрического поля $\alpha=0$ и (8) соответствует функции распределения (6). Распределение $W(\rho_3)$ при $\alpha \neq 0$ можно получить из (8) при помощи известной формулы

$$W(\rho_3) = s_3 \int_{-0-i\infty}^{-0+i\infty} \frac{dq}{2\pi i} e^{s_3[q\rho_3 + \chi(q)]}, \quad (9)$$

где $\chi(q)$ — производящая функция для куммулянтов

$$\chi(q) = \sum_{n=1}^{\infty} \frac{(-q)^n}{\Gamma(n+1)} a_n = \int_{-1+0-i\infty}^{-1+0+i\infty} \frac{dn}{2\pi i} \frac{\Gamma(n) a_{-n}}{q^n}. \quad (10)$$

Из (9), (10) можно получить следующие асимптотики функции $W(\rho_3)$:

$$W(\rho_3) = \begin{cases} \frac{(s_3 \rho_3)^\alpha}{\Gamma(\alpha)} \frac{1}{\rho_3} \exp(-s_3 \rho_3), & s_3^{-1} < \rho_3, \\ \frac{\Gamma(2\alpha)}{\Gamma(1+\alpha)} \frac{\sin \pi \alpha}{\pi \alpha} \frac{s_3^{1-\alpha}}{\rho_3^{1+\alpha}}, & \rho_m < \rho_3 < s_3^{-1}, \\ \left(\frac{\alpha}{2\pi}\right)^{1/2} \left(\frac{\rho_m}{\rho_3}\right)^{\nu/2} \frac{1}{\rho_3} \exp\left(-\left(\frac{\rho_m}{\rho_3}\right)^\nu\right), & \rho_3 < \rho_m, \end{cases} \quad (11)$$

здесь

$$\alpha = s_3 \frac{\sin \pi \alpha}{\pi \alpha}, \quad \nu = \frac{\alpha}{1-\alpha}, \quad \rho_m = \frac{\alpha}{s_3(1-\alpha)} \left[\frac{\Gamma(2\alpha)(1-\alpha)}{\Gamma^2(1+\alpha)} s_3 \right]^{1/\alpha}. \quad (12)$$

Из сравнения (11) с (6) следует, что электрическое поле существенно меняет вид $W(\rho_3)$: при $\alpha > s_3$ максимум этой функции начинает смещаться из точки $\rho_3 = 0$ в точку $\rho_3 \approx \rho_m$. При этом $W(\rho_m) \approx \rho_m^{-1}$. При приближении α к критическому значению, равному единице, максимум $W(\rho_3)$ оказывается вблизи $\rho_3 = 1$: если $(1-\alpha)^{-1} \approx \nu \gg |\ln s_3| \gg 1$, то

$$\rho_m = 1 - O\left(\nu^{-1} \ln \frac{\nu}{s_3}\right).$$

При этом распределение $W(\rho_3)$ остается существенно негауссовским и асимметричным. С левой стороны это распределение имеет резкий край

$$W(\rho_3) = \left(\frac{\nu s_3}{4\pi}\right)^{1/2} \exp\left\{\frac{\nu(1-\rho_3)}{2} - \frac{s_3}{\nu} \exp[\nu(1-\rho_3)]\right\} \quad (13)$$

при $(1-\rho_3) > \nu \ln(\nu/s_3)$. В то же время спадание $W(\rho_3)$ при $\rho_3 > 1$ происходит гораздо медленнее: если $\nu^{-1} < \rho_3 - 1 < s_3^{-1}$, то

$$W(\rho_3) = 1/\nu(\rho_3 - 1)^2. \quad (14)$$

Рассмотрение, проведенное в настоящей работе, позволяет вычислять флуктуационные моменты ЛПС (2) при произвольной $f(\varepsilon)$. Дело в том, что при любом $f(\varepsilon)$ имеет место соотношение [1], которое остается справедливым и при наличии внешнего электрического поля

$$\langle \rho_f^n(\varepsilon, x) \rangle_c = \frac{b_n(\varepsilon, x)}{N^n(x)} \int d\varepsilon' f^n(\varepsilon - \varepsilon'), \quad N(x) = \frac{1}{\pi\nu(x)}, \quad (15)$$

где b_n представляет собой n -й момент, известный как participation ratio [11]

$$b_n(\varepsilon, x) = \left\langle \sum_{\nu} |\psi_{\nu}(x)|^{2n} \delta(\varepsilon - \varepsilon_{\nu}) \right\rangle. \quad (16)$$

В следующих двух разделах мы опишем вычисление $b_n(\varepsilon, x)$ при помощи диаграммной техники Березинского. Из $b_n(x, \varepsilon)$ при помощи (15) была получена и формула (8) для $\langle \rho_3^n \rangle_c$.

Другой выбор регуляризации ЛПС, представляющий интерес, имеет вид

$$\rho_1(\varepsilon, x, \eta) = \frac{1}{\pi} \sum_{\nu} |\psi_{\nu}(x)|^2 \frac{\eta}{(\varepsilon - \varepsilon_{\nu})^2 + \eta^2}. \quad (17)$$

В отсутствие электрического поля распределение $W(\rho_1)$ описывается так называемым обратным гауссовским законом [1]

$$W(\rho_1) = \left(\frac{s_1}{4\pi\rho_1^3}\right)^{1/2} \exp\left[-\frac{s_1}{2} \frac{(\rho_1 - 1)^2}{\rho_1}\right], \quad s_1 = 8\pi\eta\tau_{\varepsilon}. \quad (18)$$

Это распределение существенно отличается от (6). Однако оказывается, что уже при $\alpha > 1/2$ $W(\rho_1)$ отличается от (11) только численными коэффициентами (и, разумеется, заменой s_3 на s_1). Если же $\alpha \rightarrow 1$, то $W(\rho_1)$ переходит в (13), (14).

Отсюда можно сделать вывод об универсальности функции распределения $W(\rho_f)$ при $\alpha \rightarrow 1$, т. е. о независимости ее от конкретного вида весовой функции $f(\varepsilon)$. Этого следовало ожидать, поскольку из-за делокализации электронных состояний флуктуации ЛПС определяются не флуктуациями в расположении уровней, а флуктуациями волновой функции.

Все эти результаты получены в двух следующих разделах и справедливы для бесконечного проводника или для конечного замкнутого проводника, если точка x расположена достаточно далеко от границы. Наличие открытой границы у образца существенно сказывается на флуктуациях ЛПС. В этом случае можно обсуждать статистику ЛПС без всякой дополнительной регуляризации, поскольку возможность покинуть образец приводит к эффективному уширению электронных состояний. ЛПС в проводнике с открытой границей подробно рассмотрена в разделе 2.

1. Флуктуации в закрытом образце

Моменты participation ratio (16) можно вычислить при помощи диаграммной техники Березинского [10]. Как было показано в [1],

$$b_n(\varepsilon, x) = (N(x))^n \frac{\Gamma(2n)}{\Gamma(n-1)\Gamma(n)\Gamma(n+1)} \lim_{\eta \rightarrow 0} (2\pi\eta)^{n-1} I_n(\eta, x), \quad (19)$$

где η — мнимая часть обратной запаздывающей функции Грина свободного электрона, а $I_n(\eta, x)$ связано с введенными Березинским левой L_m и правой R_m частями соотношением

$$I_n(\eta, x) = \sum_{m=0}^{\infty} m^{n-2} L_m(\eta, x) R_m(\eta, x). \quad (20)$$

Внешнее электрическое поле приводит к тому, что время и длина свободного пробега электронов существенно зависят от координаты x (их надо вычислять при энергии электрона, равной $\varepsilon + eEx$, что приводит, например, к координатной зависимости скорости электрона $v(x)$). С учетом этого замечания уравнения для R_m и L_m сохраняют прежний вид [2, 10]

$$\left[8m\eta\tau(x) - 2l(x) \frac{d}{dx} \right] R_m = m^2 [R_{m+1} + R_{m-1} - 2R_m]. \quad (21)$$

Уравнение для L_m получается из (21) заменой знака перед d/dx . Разумно сделать замену переменных $x \rightarrow \xi$

$$dx/d\xi = 2l(x), \quad (22)$$

после которой уравнение (21) приобретает вид

$$\left[ms(\xi) - \frac{d}{d\xi} \right] R_m = m^2 [R_{m+1} + R_{m-1} - 2R_m]. \quad (23)$$

Длина свободного пробега l_e пропорциональна квадрату скорости v_e^2 . Поэтому

$$v(x) = v_e \left(1 + \alpha \frac{x}{l_e} \right)^{1/2}, \quad l(x) = l_e \left(1 + \alpha \frac{x}{l_e} \right), \quad \xi = \frac{1}{2\alpha} \ln \left(1 + \alpha \frac{x}{l_e} \right). \quad (24)$$

Формулу (24) можно также переписать в виде

$$l(\xi) = l_e \exp(2\alpha\xi), \quad \tau(\xi) = \tau_e \exp(\alpha\xi), \quad (25)$$

из которого видно, что по параметру α имеется критическое поведение [2]. Величина $s(\xi)$, входящая в левую часть уравнения (23), оказывается равной

$$s(\xi) = 8\eta\tau(\xi) = s(0) e^{\alpha\xi}, \quad s(0) = 8\eta\tau_e. \quad (26)$$

Рассмотрим теперь замкнутую систему с границами в точках x_1 и x_2 , $x_1 \leq x \leq x_2$. В терминах логарифмической переменной ξ электроны движутся в области $\xi_1 \leq \xi \leq \xi_2$, где

$$\xi_{1,2} = \frac{1}{2\alpha} \ln \left(1 + \alpha \frac{x_{1,2}}{l_e} \right) \quad (27)$$

(если $x_1 < -l_e \alpha^{-1}$, то следует положить $\xi_1 = -\infty$). Граничные условия для уравнения (23), соответствующие полному отражению, имеют вид [1]

$$L_m(\xi_1) = 1, \quad R_m(\xi_2) = 1. \quad (28)$$

Решение (23) с условием (28) можно получить так же, как это было сделано в работе [1]. При $\eta \rightarrow 0$ ($s \rightarrow 0$) основной вклад в I_n (20) дают слагаемые с $m \gg 1$. Для таких m можно от разностного уравнения (23) перейти к дифференциальному

$$\left[p - \alpha p \frac{\partial}{\partial p} - \frac{\partial}{\partial \xi} \right] R(p, \xi) = p^2 \frac{\partial^2}{\partial p^2} R(p, \xi), \quad (29)$$

где $p = ms(\xi)$. После замены переменных

$$\Phi_\lambda(z) = z^{\alpha-1} \int_{-\infty}^{\xi_2} d\xi e^{\lambda(\xi-\xi_2)} R(p, \xi), \quad z = \sqrt{4p} \quad (30)$$

(29) переходит в уравнение Бесселя

$$\left[\frac{d^2}{dz^2} + \frac{1}{z} \frac{d}{dz} - 1 - \frac{(1-\alpha)^2 + 4\lambda}{z^2} \right] \Phi_\lambda(z) = -4z^{\alpha-3}. \quad (31)$$

Решение (31) получается при помощи преобразования Лебедева—Канторовича

$$R_m(\xi) = \int_{C_1} \frac{d\gamma}{4\pi} \left| \frac{\Gamma\left(\frac{-1+\alpha+i\gamma}{2}\right)}{\Gamma(i\gamma)} \right|^2 \left(\frac{z}{2}\right)^{1-\alpha} K_{i\gamma}(z) \exp\left[-(\xi_2 - \xi) \frac{(1-\alpha)^2 + \gamma^2}{4}\right], \quad (32)$$

где $K_{i\gamma}(z)$ — функция Бесселя. Контур интегрирования C_1 в (32) показан на рис. 1. На этом же рисунке крестиками изображены полюса из серии $\gamma = i[(1-\alpha) - 2n]$, а кружочками — полюса при $\gamma = -i[(1-\alpha) - 2n]$, где $n = 0, 1, 2, \dots$

Если $\xi_2 - \xi \gg 1$, то контур интегрирования следует совместить с вещественной осью. При этом в случае $\alpha < 1$ основной вклад в R_m вносят полюса $\gamma = \pm i(1-\alpha)$

$$R_m(\xi) = 2^{\alpha-1} (1-\alpha) K_{1-\alpha}(z). \quad (33)$$

Это выражение для R_m не зависит от расстояния до границы и поэтому справедливо и при бесконечной системе.

Если же $\alpha > 1$, то полюса вклада в R_m не дают (рис. 1). В результате

$$R_m(\xi) = \frac{\Gamma^2\left(\frac{\alpha-1}{2}\right)}{\Gamma\left(\frac{1}{2}\right)} \left(\frac{z}{2}\right)^{1-\alpha} K_0(z) \frac{1}{(\xi_2 - \xi)^{3/2}} \exp\left[-\frac{(\alpha-1)^2}{4} (\xi_2 - \xi)\right]. \quad (34)$$

Таким образом, при $\alpha > 1$ влияние границы простирается на весь образец. Из (34) следует, что электрон оказывается сосредоточенным

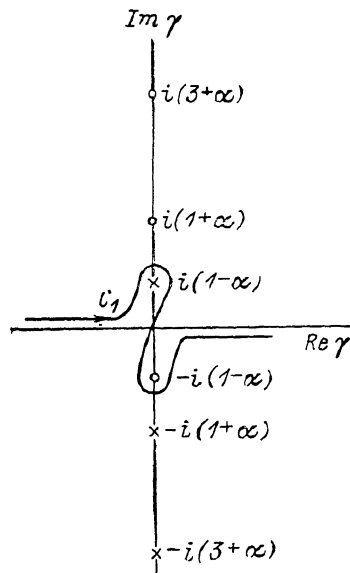


Рис. 1.

вблизи правой границы, что естественно, поскольку при $\alpha > 1$ он делокализован.

Формулы для L_m получаются из (32)–(34) при помощи замен $\alpha \rightarrow -\alpha$, $(\xi_2 - \xi) \rightarrow (\xi - \xi_1)$. Подставляя (33) в (20), (19), получим

$$I_n(\eta, x) = [s(\xi)]^{1-n} \frac{\Gamma(n+\alpha)\Gamma(n-\alpha)}{\Gamma(1+\alpha)\Gamma(1-\alpha)} \frac{\Gamma(n+1)\Gamma(n-1)}{\Gamma(2n)}, \quad (35)$$

$$b_n(x) = \frac{1}{\pi\nu(x)} [4l(x)]^{1-n} \frac{\sin \pi\alpha}{\pi\alpha} \frac{\Gamma(n+\alpha)\Gamma(n-\alpha)}{\Gamma(n)}. \quad (36)$$

Из (36) видно, что $\alpha=1$ действительно соответствует делокализации. В этом случае все b_n с $n \geq 2$ экспоненциально малы (см. (34)) и отличны от нуля только благодаря конечности и замкнутости образца.

Формула (8) для кумулянтов ρ_3 получается из (36) при помощи (15). Точно так же легко получить кумулянты всех ρ_f . Из-за того что $b_{n \geq 2} \rightarrow 0$ при $\alpha \rightarrow 1$, производящая функция $\chi(q)$ (10) при любой весовой функции и $q \geq 1$ стремится к q . Отсюда и следует универсальность $W(\rho_f)$ при $\alpha \rightarrow 1$.

2. Флуктуации в открытой системе

Открытость границы означает, что электрон, достигнув ее, покидает образец. Условие на такой границе для уравнения (23) имеет вид [1, 12]

$$L_m(\xi_1) = \delta_{m0}, \quad R_m(\xi_2) = \delta_{m0}. \quad (37)$$

В этом случае $b_n=0$ при $n \geq 2$, а $b_1 = N_\varepsilon(x) = [\pi\nu(x)]^{-1}$. В то же время можно изучать распределение ЛПС, определяемой формулой (1).

Для определения функции распределения $W(\rho)$ заметим, что в переменной ξ уравнение (23) совпадает с тем, которое справедливо в отсутствие электрического поля. Поэтому $W(\rho)$ можно получить из формулы (11) работы [1] после замен

$$N_\varepsilon = \frac{1}{\pi\nu_\varepsilon} \rightarrow N(x) = \frac{1}{\pi\nu(x)} = N_\varepsilon e^{-\alpha\xi},$$

$$\frac{|x - x_{1,2}|}{l_\varepsilon} \rightarrow |\xi - \xi_{1,2}| = \frac{1}{2\alpha} \left| \ln \frac{\varepsilon + eEx_{1,2}}{\varepsilon + eEx} \right|. \quad (38)$$

В частности, для полубесконечного образца с открытой границей или для тех точек образца, которые значительно ближе к одной из границ, справедлив логарифмически нормальный закон распределения

$$W(\bar{\rho}_1) = (4\pi\xi)^{-1/2} \frac{1}{\bar{\rho}_1} \exp \left[-\frac{(\ln \bar{\rho}_1 + \xi)^2}{4\xi} \right], \quad (39)$$

где $\bar{\rho}$ — усредненная по атомным масштабам ЛПС (1) [1], измеренная в единицах $N(x)$, а ξ — расстояние до ближайшей границы.

Из (39) следует, что наиболее вероятное значение $\bar{\rho} = \rho_m \simeq \exp(-\xi)$ уменьшается при удалении от границы. Вспомним, однако, что (39) описывает ЛПС, нормированную на среднюю плотность состояний $N(x)$, которая растет при удалении от правой границы (см. (38)). Поэтому абсолютное значение типичной ЛПС

$$N(x)\rho_m = N(x_2) e^{-(1-\alpha)|\xi-\xi_2|} = \frac{1}{\pi\nu(x_2)} \left| \frac{\varepsilon + eEx}{\varepsilon + eEx_2} \right|^{1-\alpha}$$

на пороге локализации не зависит от x , а при $\alpha > 1$ растет с ростом $|x-x_2|$.

Обсудим теперь влияние конечного η на распределение $W(\bar{\rho}_1)$. Решение уравнения (25) с граничным условием (37) можно проанализировать аналогично тому, как это сделано в работе [1] (см. также [13]). Если $s(\xi_2) \ll 1$, то можно искать R_m при $ms(\xi) \ll 1$. При этом в левой части (23)

можно опустить первый член. После этого уравнение легко решается. С другой стороны, (23) при $m \gg 1$ можно решить, сведя его к дифференциальному уравнению (29) (см. предыдущий раздел). Сшивая два эти решения в области $1 \ll m \ll s(\xi)^{-1}$, можно получить

$$R_m(\xi) = - \int_{C_2} \frac{d\gamma}{i\pi} \varphi(\gamma, \alpha) \left(\frac{z}{2}\right)^{1-\alpha} K_{i\gamma}(z) \exp\left\{-\frac{\xi_2 - \xi}{4} [(\gamma - ix)^2 + (1 - \alpha - x)^2]\right\}, \quad (40)$$

где

$$\left(\frac{z}{2}\right)^2 = ms(\xi), \quad \varphi(\gamma, \alpha) = \frac{\Gamma^3((1 + \alpha - i\gamma)/2)}{[\gamma - i(1 - \alpha)] \Gamma(-i\gamma) \Gamma(-\alpha - i\gamma)}, \quad x = \frac{|\ln s(\xi_2)|}{\xi_2 - \xi}, \quad (41)$$

контур интегрирования C_2 показан на рис. 2, где крестиками изображена серия полюсов $\gamma = -i(2n - 1 + \alpha)$ с $n = 0, 1, 2, \dots$.

Если $|\xi_2 - \xi| \gg 1$, то интеграл (40) можно вычислить методом перевала. Результат существенно зависит от взаимного расположения точки пере-

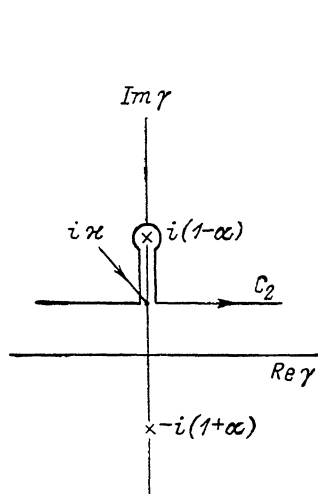


Рис. 2.

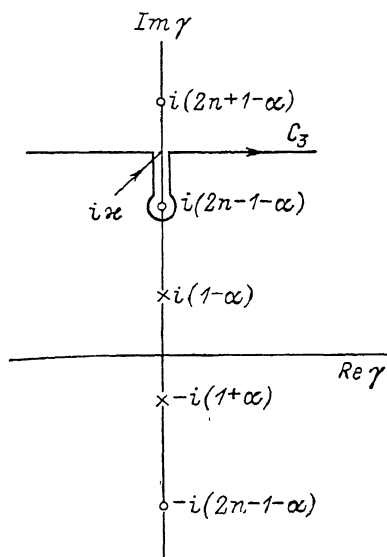


Рис. 3.

вала $\gamma = ix$ и самого верхнего из полюсов $\gamma = i(1 - \alpha)$. Влияние границы чувствуется только при тех ξ , при которых перевальная точка выше

$$|\xi - \xi_2| < \frac{1}{1 - \alpha} |\ln s(\xi_2)|, \quad \alpha < 1. \quad (42)$$

При больших $|\xi - \xi_2|$, т. е. дальше от границы, R_m определяется полюсом и выходит на значение (33), соответствующее бесконечной системе. При $\alpha > 1$ влияние границы простирается на весь образец.

Что касается $L_m(\xi)$, то для этой величины эффект границы с ростом поля уменьшается ($\alpha \rightarrow -\alpha$), и при $|\xi - \xi_1| > \frac{1}{(1 + \alpha)} \cdot |\ln s(\xi_1)|$ величина L_m такая же, как в бесконечной системе

$$L_m(\xi) = \frac{z^{1+\alpha}}{2^\alpha} \frac{K_{1+\alpha}(\xi)}{\Gamma(1 + \alpha)}. \quad (43)$$

Подставляя (40) и (43) в (20), получим, что при $\xi_1 \rightarrow -\infty$

$$I_n(\eta, x) = -[s(\xi)]^{1-n} \Gamma^{-1}(1 + \alpha) \Gamma^{-1}(2n) \int_{C_3} \frac{d\gamma}{2\pi i} \varphi(\gamma, \alpha) \times \\ \times \left| \Gamma\left(n + \frac{1 + \alpha + i\gamma}{2}\right) \Gamma\left(n - \frac{1 + \alpha + i\gamma}{2}\right) \right|^2 \exp\left\{-\frac{\xi_2 - \xi}{4} [(\gamma - ix)^2 + (1 - \alpha - x)^2]\right\}. \quad (44)$$

По сравнению с (40) в (44) добавилось еще серии полюсов $\gamma = -i [2(n+m) \pm (1+\alpha)]$ и $\gamma = i [2(n+m) \pm (1+\alpha)]$, где $m = 0, 1, 2, \dots$. Эти полюса вместе с контуром интегрирования C_3 показаны на рис. 3.

Рассмотрим сначала предельные случаи. Если $s(\xi) \rightarrow 0$, т. е. $\eta \rightarrow 0$, то $i\kappa \rightarrow i\infty$ и основной вклад в (44) дает полюс $\gamma = i(2n-1-\alpha)$

$$I_n(\eta=0, x) = \frac{\Gamma^2(n)\Gamma(n-1)}{\Gamma(2n-1)} \exp[|\xi_2 - \xi|n(n-1)], \quad (45)$$

этот результат соответствует логарифмически-нормальному распределению ЛПС (39).

С другой стороны, если η мало, но конечно, то начиная с некоторого $n = n_c \approx (x+1-\alpha)/2$ величина I_n будет целиком определяться перевалом. При этом в пределе $n \gg 1$ для I_n получается выражение, аналогичное (35).

Обращаясь к общему случаю, из (44) можно заключить, что логарифмически-нормальный закон справедлив только при

$$|\ln \tilde{\rho}_1| < \ln \frac{1}{s(\xi)} - \alpha |\xi - \xi_2| + \ln \frac{1}{s(\xi_2)} \quad (46)$$

Если же $s(\xi) \geq e^{-(\xi_2-\xi)}$, то область применимости закона распределения (39) вообще отсутствует и $W(\tilde{\rho}_1)$ описывается формулами типа (11).

Заметим также, что достаточно далеко от границы при $\alpha > 1$ неравенство (46) выполняется при любом $\tilde{\rho}_1$. Поэтому логарифмически-нормальное распределение $\tilde{\rho}_1$ обязательно имеет место при любом $\tilde{\rho}_1$, если состояния делокализованы.

Обсуждение результатов

Полученные выше результаты для распределения ЛПС в открытой системе в электрическом поле можно проинтегрировать совершенно аналогично тому, как это было сделано в работе [1] в отсутствие электрического поля. Уровень, локализованный в точке x , имеет конечную ширину, связанную с возможностью выхода электрона из образца, равную

$$\eta(x) = \frac{1}{\tau(x)} \exp[-2\beta |\xi - \xi_2|], \quad (47)$$

где β — обратный радиус локализации в переменной ξ . Напомним, что $\tau^{-1}(x)$ определяет среднее расстояние между уровнями, локализованными в точке x

$$\tau^{-1}(x) = \tau_0^{-1} \left(1 + \alpha \frac{x}{l_e}\right)^{-1/2},$$

а $|\xi - \xi_2|$ — расстояние до правой границы, равное

$$|\xi - \xi_2| = \frac{1}{2\alpha} \left| \ln \frac{\varepsilon + eEx_2}{\varepsilon + eEx} \right|.$$

Величина β имеет смысл показателя степенного спада волновой функции состояния с центром в точке x

$$l(x_2) |\psi_x(x_2)|^2 = \beta \exp\{-2\beta |\xi - \xi_2|\} = \beta \left| \frac{\varepsilon + eEx}{\varepsilon + eEx_2} \right|^{\beta/\alpha} \sim x_2^{-3/\alpha}.$$

Показатель β является случайной величиной. Если предположить, что его флуктуации распределены нормально

$$P(\beta) = \left| \frac{\xi - \xi_2}{\pi} \right|^{1/2} \exp\left[-|\xi - \xi_2| \left(\beta - \frac{1}{2}\right)^2\right], \quad (48)$$

и учесть, что [1]

$$p(x) \approx 1/\eta(x) \tau(x), \quad (49)$$

то из (47) и (48) мы получим логарифмически-нормальное распределение для $\rho(x)$.

Нетрудно также понять эффект конечного η в (17). Граница чувствуется, только если выполнено условие $\eta(x) > \eta$, которое, согласно (49), можно переписать в виде, аналогичном (46)

$$\rho(x) < 1/\eta\tau(x).$$

Область существования логарифмически-нормального распределения ЛПС вообще исчезает, если $\eta\tau(x) > \exp[-|\xi - \xi_2|]$. Если $\alpha < 1$, то это происходит при

$$|\xi - \xi_2| < \frac{1}{1-\alpha} \ln \frac{1}{\eta\tau(x)}.$$

Видно, что с ростом электрического поля увеличивается размер пространственной области, в которой логарифм ЛПС распределен нормально. В то же время и интервал значений $\bar{\rho}_1$, в котором справедлив логарифмически-нормальный закон, также растет. На пороге локализации, т. е. при $\alpha=1$, величина этого интервала не зависит от расстояния до границы, а при $\alpha > 1$ растет с увеличением этого расстояния.

Поясним, наконец, физический смысл порогового поля $\alpha=1$. Как известно, судить о том, локализованы или нет электронные состояния, можно по соотношению между степенью перекрытия этих состояний и энергетическим разбросом. Если два уровня локализованы в точках 0 и x , то перекрытие между ними убывает по закону

$$\delta E(x) \sim \tau_0^{-1} e^{-\xi}.$$

В то же время разброс ведет себя как

$$\Delta E(x) \sim \tau^{-1}(x) \sim \tau_0^{-1} e^{-\alpha\xi}.$$

Поэтому при $\alpha < 1$ $\delta E(x)/\Delta E(x) \rightarrow 0$ при $x \rightarrow \infty$ и все состояния локализованы, а если $\alpha > 1$, то $\delta E(x) \gg \Delta E(x)$ и наблюдается делокализация.

Л и т е р а т у р а

- [1] Альтшулер Б. Л., Пригодин В. Н. // Письма в ЖЭТФ. 1987. Т. 45. № 11. С. 538—540; ЖЭТФ. 1988. В печати.
- [2] Пригодин В. Н. // ЖЭТФ. 1980. Т. 79. № 6 (11). С. 2338—2355.
- [3] Soukoulis C. M., José J. V., Economou E. N., Sheng P. // Phys. Rev. Lett. 1983. V. 50. N 10. P. 764—767.
- [4] Delyon F., Simon B., Soulliard B. // Phys. Rev. Lett. 1984. V. 52. N 24. P. 2187—2189.
- [5] Kirkpatrick T. R. // Phys. Rev. 1986. V. 33B. N 2. P. 780—788.
- [6] Vijayagovindan G. V., Jajannavar A. M., Kumar N. // Phys. Rev. 1987. V. 35B. N 4. P. 2029—2032.
- [7] Вайнруб А. М., Хеймаа И. А., Алла М. А. и др. // Письма в ЖЭТФ. 1985. Т. 41. № 11. С. 468—470.
- [8] Янчев И. Я. // ФТП. 1974. Т. 8. № 7. С. 1494—1499.
- [9] Авилов А. А., Булаевский Л. Н., Дорохов О. Н. // Письма в ЖЭТФ. 1985. Т. 42. № 4. С. 156—159.
- [10] Березинский В. Л. // ЖЭТФ. 1973. Т. 65. № 3 (9). С. 1251—1266.
- [11] Wegner F. // Z. für Phys. 1980. V. 36. N 3. P. 207—210; Nucl. Phys. 1987. V. 280 (FS18). N 2. P. 193—224.
- [12] Абрикосов А. А., Рыжкин И. А. // ЖЭТФ. 1976. Т. 71. № 3 (9). С. 1204—1224.
- [13] Мельников В. И. // ФТТ. 1980. Т. 22. № 8. С. 2404—2413.

Ленинградский институт
ядерной физики им. Б. П. Константинова АН СССР
Ленинград

Поступило в Редакцию
27 июля 1988 г.